

ОБ ОПТИМАЛЬНОМ ПРОЕКТИРОВАНИИ СТОЕК СТУПЕНЧАТО-ПЕРЕМЕННОГО СЕЧЕНИЯ

В настоящей работе предлагается методика получения аналитических зависимостей для стоек ступенчато-переменного сечения при действии на них осевых сил.

Для стойки, показанной на рис. 1, отыскивается минимальный объем материала с учетом ограничений по прочности и устойчивости. При этом предполагается, что механические свойства материала, работающего в упругой стадии, форма поперечного сечения, геометрические размеры, жесткость упругих связей, величины осевых сил являются заданными.

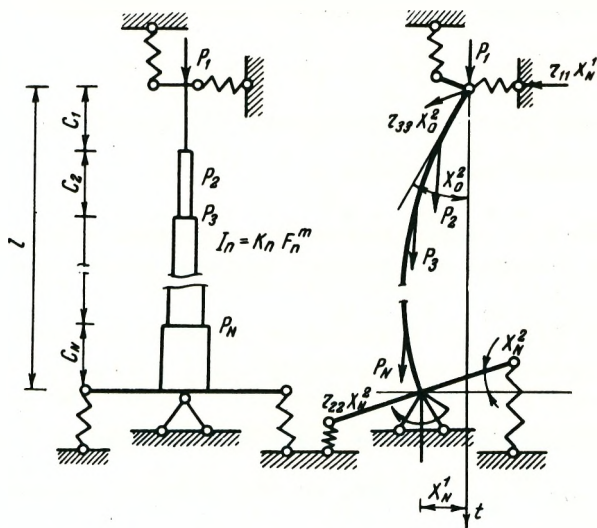


Рис. 1.

Приняв за фазовые координаты для n -го участка прогибы X_n^1 , углы поворота X_n^2 , изгибающие моменты X_n^3 , проекцию поперечной и продольной сил на нормаль к первоначальной оси стойки X_n^4 и воспользовавшись уравнением упругой линии сжато-изогнутого стержня в форме метода начальных параметров [1], можно записать

$$\begin{aligned}
X_n^1 &= T_n^1(X_{n-1}^i; \nu_n) = X_{n-1}^1 + X_{n-1}^2 c_n / \nu_n \sin \nu_n + \\
&+ X_{n-1}^3 c_n / f_n (1 - \cos \nu_n) + X_{n-1}^4 c_n^2 / f_n \nu_n (\nu_n - \sin \nu_n); \\
X_n^2 &= T_n^2(X_{n-1}^i; \nu_n) = X_{n-1}^2 \cos \nu_n + X_{n-1}^3 \nu_n \sin \nu_n / f_n + \\
&+ X_{n-1}^4 c_n / f_n (1 - \cos \nu_n); \\
X_n^3 &= T_n^3(X_{n-1}^i; \nu_n) = -X_{n-1}^2 f_n / \nu_n \sin \nu_n + \\
X_{n-1}^3 \cos \nu_n + X_{n-1}^4 c_n / \nu_n \sin \nu_n; \\
X_n^4 &= T_n^4(X_{n-1}^4) = X_{n-1}^4.
\end{aligned} \tag{1}$$

Здесь $\nu_n = \sqrt{c_n f_n / E I_n}$ - критический параметр, принятый за управляющую переменную,

$$f_n = c_n \sum_{i=1}^n P_i. \tag{2}$$

Для первого участка в уравнениях (1) изгибающий момент X_{n-1}^3 заменяется выражением

$$X_{n-1}^3 = r_{33} X_0^2 + X_0^3. \tag{3}$$

Граничные условия для данного примера имеют вид при $t = 0$ $X_0^1 = 0$; $X_0^3 = 0$;

$$t = 1 \quad X_N^1 = X_{N-1}^4 / r_{11}; \quad X_N^3 = -r_{22} X_N^2, \tag{5}$$

где r_{11} - реакция в упругой связи при единичном линейном смещении; r_{22} , r_{33} - то же, но при угловом смещении соответствующей связи.

Для сведения целевой функции

$$V = \sum_{n=1}^N c_n F_n = \sum_{n=1}^N b_n / (\nu_n)^m \tag{6}$$

к стандартному виду дискретного принципа максимума [2]

$$V = \sum_{i=1}^5 \alpha_i X_N^i \tag{7}$$

вводится еще одна фазовая координата $\frac{2}{m}$

$$X_n^5 = X_{n-1}^5 + b_n / (\nu_n)^{\frac{2}{m}} \quad (8)$$

при условии, что $X_0^5 = 0$, где $\frac{1}{m}$

$$b_n = c_n (c_n f_n / k_n E)^m. \quad (9)$$

Для минимизации целевой функции необходимо составить функции Гамильтона

$$H_n = \sum_{i=1}^5 Z_n^i T_n^i (X_{n-1}^i, \nu_n); \quad n = 1, 2, \dots, N \quad (10)$$

с учетом условий (3) и (5) и ввести сопряженный вектор Z_n , отыскиваемый по правилу

$$Z_{n-1}^i = \partial H_n / \partial X_{n-1}^i. \quad (11)$$

Граничные условия для сопряженного вектора зависят от начального и конечного фазового состояния объекта [3] и имеют вид

$$\text{при } t = 0 \quad Z_0^2(\nu) = 0; \quad Z_0^4(\nu) = 0;$$

$$t = 1 \quad Z_N^2 = 0; \quad Z_N^4 = 0; \quad Z_1^5 = Z_2^5 = \dots = Z_N^5 = -1. \quad (12)$$

Функция (7) достигает минимума, если

$$\partial H_n / \partial \nu_n = 0, \quad n = 1, 2, \dots, N. \quad (13)$$

Решив совместно систему уравнений (13), (11), (1) с учетом выражений (4), (5), (12), получим искомые аналитические зависимости, из которых находят оптимальные критические параметры. Эти параметры должны удовлетворять условию прочности

$$\nu_n \leq (c_n^{m+1} \sigma_0^m / k_n E f_n^{m-1})^{\frac{1}{2}}. \quad (14)$$

Если оно не выполняется для некоторых ν_n , то последние назначаются исходя из условий прочности. Зная критические параметры, определяют минимальный объем системы, используя выражение (6).

Для двухступенчатой стойки искомые аналитические зависимости имеют вид

$$\frac{A}{B} = -\frac{D}{C};$$

$$\frac{C \frac{\partial A}{\partial v_1} - D \frac{\partial B}{\partial v_1} + A \frac{\partial C}{\partial v_1} - B \frac{\partial D}{\partial v_1}}{B \frac{\partial D}{\partial v_2} - A \frac{\partial C}{\partial v_2} - C \frac{\partial A}{\partial v_2} + D \frac{\partial B}{\partial v_2}} = -\frac{b_1}{b_2} \left(\frac{v_2}{v_1} \right)^{\frac{2}{m} + 1} \quad (15)$$

где

$$A = \frac{c_1}{v_1} \sin v_1 + r_{33} \frac{c_1}{f_1} (1 - \cos v_1) + \frac{c_2}{f_2} (1 -$$

$$- \cos v_2) \Psi + \frac{c_2}{v_2} \Psi \sin v_2;$$

$$B = \frac{c_1^2 (v_1 - \sin v_1)}{f_1 v_1} + \frac{c_1 c_2}{f_1 v_2} \sin v_2 (1 - \cos v_1) +$$

$$+ \frac{c_1 c_2}{f_2 v_1} \sin v_1 (1 - \cos v_2) + \frac{c_2^2 (v_2 - \sin v_2)}{f_2 v_2} -$$

$$- \frac{1}{r_{11}};$$

$$C = \frac{c_1}{f_1} (1 - \cos v_1) \varepsilon + \frac{c_1}{v_1} \sin v_1 \beta + \frac{c_2}{v_2} \sin v_2 +$$

$$+ r_{22} \frac{c_2}{f_2} (1 - \cos v_2);$$

$$D = \Psi \varepsilon + \Psi \beta; \quad \Psi = r_{33} \cos v_1 - \frac{f_1}{v_1} \sin v_1;$$

$$\Psi = r_{33} \frac{v_1}{f_1} \sin v_1 + \cos v_1; \quad \varepsilon = r_{22} \cos v_2 -$$

$$- \frac{f_2}{v_2} \sin v_2;$$

$$\beta = \cos v_2 + r_{22} \frac{v_2}{f_2} \sin v_2.$$

Из уравнений (15) можно получить ряд частных решений, учитывающих различное закрепление концов стойки. Так, например, положив $r_{11} = 0$, $r_{22} = \infty$, $r_{33} = 0$ (консольная стойка), получим

$$\left. \begin{aligned} 1 - \frac{f_1 \nu_2}{f_2 \nu_1} \operatorname{tg} \nu_1 \operatorname{tg} \nu_2 &= 0; \\ \operatorname{tg} \nu_1 + \frac{f_1 \nu_2}{f_2 \nu_1^2} (\nu_1 - \operatorname{tg} \nu_1) \operatorname{tg} \nu_2 \\ &\frac{1}{6} = \frac{b_1}{b_2} \left(\frac{\nu_2}{\nu_1} \right)^{\frac{2}{m}} + 1 \\ \operatorname{tg} \nu_2 + \frac{f_1 \operatorname{tg} \nu_1}{f_2 \nu_1} (\nu_2 + \operatorname{tg} \nu_2) \end{aligned} \right\} (16)$$

Для этой же стойки при $N=3$ уравнения получены в виде

$$\left. \begin{aligned} 1 - \frac{f_1 \nu_2}{f_2 \nu_1} \operatorname{tg} \nu_1 \operatorname{tg} \nu_2 + \frac{f_1 \nu_3}{f_3 \nu_1} \operatorname{tg} \nu_1 \operatorname{tg} \nu_3 + \\ + \frac{f_2 \nu_3}{f_3 \nu_2} \operatorname{tg} \nu_2 \operatorname{tg} \nu_3 &= 0; \\ \operatorname{tg} \nu_2 + \frac{f_1 \operatorname{tg} \nu_1}{f_2 \nu_1} (\nu_2 + \operatorname{tg} \nu_2) + \nu_3 \operatorname{tg} \nu_3 \left[\frac{f_2 (\nu_2 - \operatorname{tg} \nu_2)}{f_3 \nu_2^2} \right. \\ &\left. - \frac{f_1 \operatorname{tg} \nu_1 \operatorname{tg} \nu_2}{f_2 \nu_1} \right] = \alpha \frac{b_2}{b_3} \left(\frac{\nu_3}{\nu_2} \right)^{\frac{2}{m}} + 1; \\ (1 - \frac{f_2 \nu_3}{f_3 \nu_2} \operatorname{tg} \nu_2 \operatorname{tg} \nu_3) \operatorname{tg} \nu_1 + (\frac{f_1 \nu_2 \operatorname{tg} \nu_2}{f_2} + \\ + \frac{f_1 \nu_3 \operatorname{tg} \nu_3}{f_3}) \frac{(\nu_1 - \operatorname{tg} \nu_1)}{\nu_1^2} &= \alpha \frac{b_1}{b_3} \left(\frac{\nu_3}{\nu_1} \right)^{\frac{2}{m}} + 1, \end{aligned} \right\} (17)$$

Для шарнирно опертой стойки при действии на нее только силы P_1 $N=3$ критические параметры находятся из выражений (18)

$$\left. \frac{f_3}{\nu_3} \operatorname{tg} \nu_3 + \frac{f_2}{\nu_2} \operatorname{tg} \nu_2 - \frac{f_1}{\nu_1} \operatorname{tg} \nu_1 \left(\frac{f_3 \nu_2}{f_2 \nu_3} \operatorname{tg} \nu_2 \operatorname{tg} \nu_3 - 1 \right) = 0; \right\} (18)$$

$$\left. \begin{aligned} & \frac{f_3}{\nu_3} \operatorname{tg} \nu_3 \left[\operatorname{tg} \nu_2 + \frac{f_1 \operatorname{tg} \nu_1}{f_2 \nu_1} (\nu_2 + \operatorname{tg} \nu_2) \right] - \left[\frac{f_2}{\nu_2} (\nu_2 - \operatorname{tg} \nu_2) - \right. \\ & \left. - \frac{f_1}{\nu_1} \operatorname{tg} \nu_1 \operatorname{tg} \nu_2 \right] = \delta \frac{b_2}{b_3} \left(\frac{\nu_3}{\nu_2} \right)^{\frac{2}{m} + 1}; \\ & \left(\frac{f_3}{\nu_3} \operatorname{tg} \nu_3 + \frac{f_2}{\nu_2} \operatorname{tg} \nu_2 \right) \operatorname{tg} \nu_1 + \frac{f_1}{\nu_1} (\nu_1 - \\ & - \operatorname{tg} \nu_1) \left(\frac{f_3 \nu_2}{f_2 \nu_3} \operatorname{tg} \nu_3 \operatorname{tg} \nu_2 - 1 \right) = \delta \frac{b_1}{b_2} \left(\frac{\nu_2}{\nu_1} \right)^{\frac{2}{m} + 1}, \end{aligned} \right\}$$

где $\delta = \operatorname{tg} \nu_3 \left(\frac{f_2}{\nu_2} \operatorname{tg} \nu_2 + \frac{f_1}{\nu_1} \operatorname{tg} \nu_1 \right) - \frac{f_3}{\nu_3} (\nu_3 -$

$$- \operatorname{tg} \nu_3) \left(1 - \frac{f_1 \nu_2}{f_2 \nu_1} \operatorname{tg} \nu_1 \operatorname{tg} \nu_2 \right).$$

(18)

Пример. Определить минимальный объем двухступенчатой и трехступенчатой консольных стоек прямоугольного поперечного сечения с постоянной высотой $h = 1$ и переменной шириной сечения, если $P_1 = 1$, $E = 12$, $l = 3$ и потеря устойчивости происходит в плоскости h . Стойки имеют ступени равной длины.

По формулам (2), (9), (16) или (17), (6) при $k_n = h^2/12 = 1/12$ и $m = 1$ определим соответственно значения f_n , b_n , ν_n , V .

Для двухступенчатой стойки

$$c_1 = c_2 = 1,5; f_1 = f_2 = 1,5; b_1 = b_2 = 27/8; \nu_1 = 1,01; \nu_2 = 0,722; V = 9,81.$$

Для трехступенчатой стойки

$$c_1 = c_2 = c_3 = 1; f_1 = f_2 = f_3 = 1; b_1 = b_2 = b_3 = 1; \nu_1 = 0,804; \nu_2 = 534; \nu_3 = 0,475; V = 9,51.$$

Полученный результат при $N = 3$ совпадает с решением, приведенным в работе [4].

Резюме. Предлагаемую методику можно применять для расчета многопролетных стержней на упругих и жестких опорах, однопролетных симметричных и многопролетных одноэтажных рам.

Л и т е р а т у р а

1. Справочник проектировщика промышленных, жилых и общественных зданий и сооружений. Расчетно-теоретический, кн. 2. М., 1973. 2. Болтянский В.Г. Оптимальное управление дискретными системами. М., 1973. 3. Фан Лян-цень, Вань Чу-сен. Дискретный принцип максимума. М., 1967. 4. Баублис П.С., Ципинас И.К. Применение метода проектируемых градиентов Розена для оптимизации упругих систем, подверженных потере устойчивости. - В кн.: Литовский механический сборник. Вильнюс, 1969, № 1 (4).